

КРАТКИЕ СООБЩЕНИЯ И ПИСЬМА В РЕДАКЦИЮ

УДК 551.510.535

ИЗМЕРЕНИЕ СПЕКТРА ФЛУКТУАЦИЙ ФАЗЫ И АМПЛИТУДЫ СИГНАЛОВ ИСЗ ПРИ ВОЗДЕЙСТВИИ МОЩНОГО РАДИОИЗЛУЧЕНИЯ НА ИОНОСФЕРУ

*Ф. И. Выборнов, Л. М. Ерухимов, Г. П. Комраков,
В. И. Косолапенко, В. А. Кряжев, Е. Н. Мясников*

Измерения формы спектра искусственных ионосферных неоднородностей, возбуждаемых мощным КВ радиоизлучением, проводились ранее в работах [1-3]. В указанных экспериментах при просвечивании возмущенной области радиосигналами ИСЗ анализировались спектры амплитудных мерцаний. Как известно, в спектре флюктуаций амплитуды $F_A(v)$ имеет место насыщение в области частот, меньших френслевской частоты

$$v_\Phi = \sqrt{\frac{z_h k_0}{z_c (z_c - z_h)}} \frac{v}{2\pi}, \quad (1)$$

$k_0 = 2\pi/\lambda$ — волновое число зондирующей радиоволны, z_c , z_h — соответственно расстояния от пункта наблюдения до ИСЗ и до эффективного слоя, содержащего неоднородности, v — скорость ИСЗ.

Последнее накладывает ограничение на значения масштабов неоднородностей, которые могут вызвать амплитудные мерцания радиосигналов, $l < l_\Phi$:

$$l_\Phi = \frac{2\pi}{x_\Phi} = 2\pi \sqrt{\frac{z_h(z_c - z_h)}{z_c k_0}}. \quad (2)$$

Вместе с тем хорошо известно, что исследовать форму спектра неоднородностей при $l > l_\Phi$ можно посредством измерений спектра флюктуаций фазы $F_\varphi(v)$ сигнала, прошедшего через возмущенную область.

В настоящем эксперименте для диагностики искусственных ионосферных неоднородностей использовались сигналы американских ИСЗ типа NNSSA на двух когерентных частотах 150 и 400 МГц.

С помощью разработанного в ПГИ КФ АН СССР приемника когерентных частот регистрировались амплитуды A_1 , A_2 сигналов (соответственно на частотах 150 и 400 МГц) и квадратурные составляющие $A_1 \sin \varphi_{12}$, $A_1 \cos \varphi_{12}$ (φ_{12} — разностная фаза сигналов на приведенной частоте). Вычисления флюктуаций фазы $\Delta\varphi_{12}$ осуществлялись на ЭВМ с использованием цифровой фильтрации данных. Искусственная ионосферная турбулентность возбуждалась при помощи нагревного стенда «Сура». Нагрев осуществлялся непрерывным радиоизлучением обыкновенной поляризации на частоте $f_n \approx 6$ МГц, меньшей критической частоты максимума F -слоя. Использовались два режима работы нагревного стенда: несинфазный режим, при котором три радиопередатчика мощностью $P = 250$ кВт работали каждый на свою antennную систему с коэффициентом усиления антенны $G=70$, и синфазный режим, когда проводилось когерентное сложение мощности с различных антенн и коэффициент усиления системы составлял $G=220$. Последнее приводило к увеличению мощности радиоизлучения в вертикальном направлении и сужению возмущенной области ионосферы в горизонтальной плоскости. Нагревный стенд включался за 5-10 мин до времени прохождения луча из пункта наблюдения на ИСЗ через возмущенную область и работал все время в течение пролета.

Прием сигналов ИСЗ осуществлялся в пункте «Зименки», расположенном на расстоянии $z=100$ км к западу от нагревного стендса. Геометрия наблюдений приведена на рис. 1, где для трех пролетов ИСЗ показаны траектории пересечений лучом зрения на спутник уровней высот 300 (кривые 1, 2) и 350 км (кривая 3), которые согласно данным ионосферной станции в Зименках соответствовали высотам отражения мощных радиоволн от ионосферы в периоды пролетов спутников. Жирными линиями на рисунке отмечены участки траекторий, которые соответствовали повышенной интенсивности наблюдавшихся мерцаний, вызванных искусственными ионосферными неоднородностями. Окружность на рис. 1 ограничивает зону радиусом 50 км, в центре которой расположен нагревный стенд.

Согласно приведенным данным северо-южный размер возмущенной области слабо зависел от условий и режимов нагрева. При этом возмущенная область была

достаточно протяженной в направлении север—юг ($L_{\text{с-ю}} \approx 150 \div 200 \text{ км}$) и смешанной к югу относительно положения нагревного стенда. Индекс амплитудных мерцаний $I = \sqrt{\langle \Delta A^2 \rangle / \langle A \rangle^2}$ на частоте 150 МГц в зоне искусственного возмущения составлял $I = 0,02 \div 0,04$. Вне зоны искусственных неоднородностей значение I было ниже порога чувствительности аппаратуры $I \lesssim 0,004$. В годы проведения измерений при отсутствии нагрева мелкомасштабные флюктуации фазы и амплитуды сигнала ИСЗ также не наблюдались.

Для пролетов 2, 3, приведенных на рис. 1, имел место синфазный режим нагрева, для 1 — несинфазный. То, что в условиях настоящего эксперимента индекс мерцаний в возмущенной области слабо зависел от эффективной мощности нагрева, могло свидетельствовать о насыщении флюктуаций концентрации в искусственных неоднородностях при использованных мощностях нагрева.

Рассмотрим результаты спектральной обработки амплитудных и фазовых мерцаний сигналов ИСЗ. Можно показать, что для малых возмущений амплитуды $\Delta A / A \ll 1$ и фазы $\Delta\phi \ll 1$ спектры $F_A(\chi = 2\pi/l)$ и $F_\phi(\chi)$ для случая фазового экрана следующим образом связаны со спектром флюктуаций электронной концентрации $\Phi_N(\chi)$ на экране (в возмущенной области ионосферы):

$$F_A(\chi) \propto \Phi_N(\chi) \sin^2 \frac{\chi^2}{2x_\Phi^2}; \quad (3)$$

$$F_\phi(\chi) \propto \Phi_N(\chi) \cos^2 \frac{\chi^2}{2x_\Phi^2}, \quad (4)$$

Рис. 1.

где x_Φ определяется из (2). Из (3), (4) следует, что сумма нормированных спектров $F_A(\chi)$, $F_\phi(\chi)$ определяет зависимость $\Phi_N(\chi)$.

На рис. 2 приведены ненормированные спектры $F_A(v)$ (для частоты 150 МГц), $F_\phi(v)$ — для отмеченной зоны пролета 3 (см. рис. 1); там же приводится спектр $\Phi_N(\chi)$. Можно видеть, что в то время как $F_A(v)$, $F_\phi(v)$ подвержены значительным осцилляциям, спектр $\Phi_N(\chi)$ имеет монотонный степенной вид $\Phi_N(\chi) \propto \chi^{-p}$ с показателем степени $p \approx 2$. Заметим, что достаточно глубокие френелевские осцилляции на одномерных спектрах $F_A(v)$, $F_\phi(v)$, где $v = (1/2\pi)(z_n/z_0)\chi$, свидетельствуют о том, что $\Phi_N(\chi)$ в плоскости рассеяния, ортогональной лучу на ИСЗ, имеет резко анизотропный (одномерный) вид. Последнее возможно в случае неоднородностей, сильно вытянутых в направлении геомагнитного поля.

На рис. 3 приведены спектры $F_{A_1}(v)$, $F_{A_2}(v)$ для частот 150 и 400 МГц и $F_\phi(v)$ для возмущенной зоны пролета 1. Спектры $F_{A_1}(v)$ и $F_{A_2}(v)$ достигают насыщения в области частот $v_1 \approx 1,3 \text{ Гц}$ и $v_2 \approx 2,1 \text{ Гц}$, отвечающих первому максимуму осциллирующего сомножителя в (3). На рис. 3 приведен также спектр $\Phi_N(\chi)$, полученный из $F_{A_1}(v)$ и $F_\phi(v)$. Видно, что $\Phi_N(\chi)$ содержит уплощение в области частот $v \approx 1 \div 3 \text{ Гц}$, отвечающих пространственным масштабам $l \approx 0,8 \div 2,2 \text{ км}$. Ограничение $\Phi_N(\chi)$ со стороны больших масштабов (малых частот v) обусловлено фильтрацией данных фильтром низких частот ($v_0 \approx 0,1 \text{ Гц}$). Последнее было необходимо для того, чтобы исключить эффект регулярного набега фазы за счет изменения полного электронного содержания на радиолуче ИСЗ в течение обрабатываемого участка пролета. Отметим также, что в настоящем эксперименте для всех пролетов ИСЗ не было обнаружено отличий в регулярном ходе разностной фазы в области нагрева и вне ее. Последнее может свидетельствовать о том, что в возмущенной области не было достаточно сильных искусственных возмущений электронной концентрации с масштабами $l > 10 \div 20 \text{ км}$.

На основе данных спектрального анализа можно сделать следующие выводы. Приведенные в настоящей работе результаты спектральной обработки данных свидетельствуют о том, что возможны два типа спектров искусственных неоднородностей, возбуждаемых мощным КВ радиоизлучением: 1 — спектр с монотонной степенной зависимостью $\Phi_N(\chi) \propto \chi^{-p}$, 2 — спектр, имеющий максимум в области масштабов $l \approx 0,8 \div 2 \text{ км}$. Последнее согласуется с данными, полученными ранее в работах [1-3]. Заметим, что при использованной в настоящем эксперименте геометрии наблюдений измерялись масштабы неоднородностей в направлении движения ИСЗ, т. е. в направлении север—юг. В [2] по наблюдениям мерцаний геостационарного ИСЗ была

исследована форма неоднородностей в восточно-западном направлении и было показано, что $\Phi_N(x)$ имеет максимум в области масштабов $l \approx 500 \div 600$ м. Сравнивая эти данные с результатами настоящей работы, можно считать, что вид спектров в плоскости, ортогональной H , примерно один и тот же в различных направлениях (см. [3]) и что трехмерный спектр искусственных неоднородностей вблизи уровня отражения мощных радиоволн может быть представлен в следующем виде:

$$\Phi_N(x) \propto \Phi_N(\gamma^2 x_x^2 + x_y^2) \exp\left(-\frac{x_z^2 l_{0z}^2}{4}\right), \quad (5)$$

где x_z — волновое число неоднородностей вдоль магнитного поля, x_x, x_y — волновые числа в плоскости, ортогональной магнитному полю H соответственно в северо-южном и восточно-западном направлениях. Коэффициент γ характеризует анизотропию неоднородностей и может иметь значения $\gamma \approx 2 \div 3$. Масштаб l_{0z} , по-видимому, составляет $10 \div 15$ км [7]. Согласно результатам корреляционных измерений, проведенным в [5, 6], искусственные неоднородности моделировались эллипсоидом с соотношением осей $5:2:1$, в котором наибольшие значения осей имели место в плоскости геомагнитного меридиана.

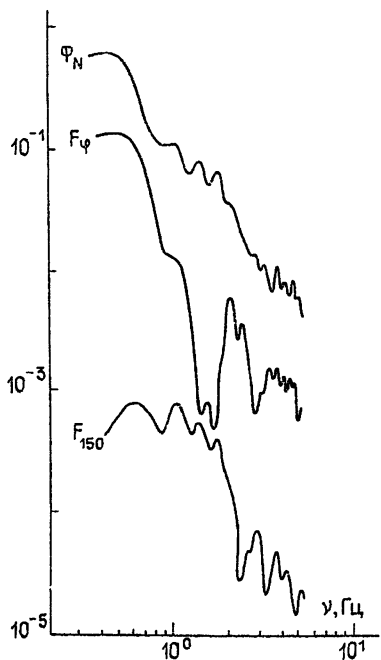


Рис. 2.

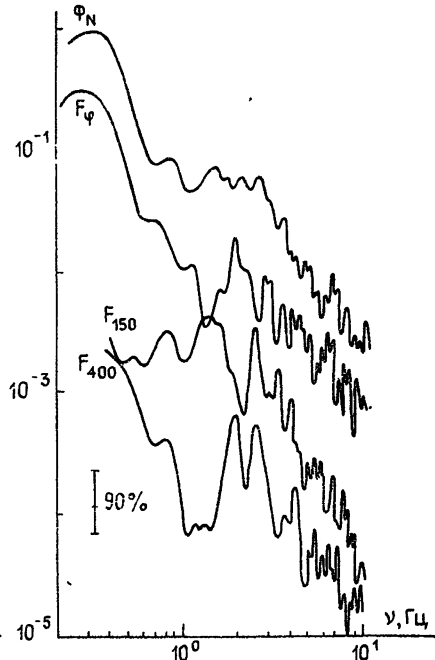


Рис. 3.

Следует отметить, что хотя модель корреляционного эллипсоида в среднем правильно отражает эффективную форму неоднородностей, однако она не учитывает резкой анизотропии спектра неоднородностей вдоль магнитного поля. Последняя связана с тем, что внутренний масштаб l_{0z} вдоль H существенно больше соответствующего масштаба в плоскости, ортогональной H ($l_{0z} \gg l_{0\perp}$). С другой стороны, несмотря на то, что масштабы максимумов $\Phi_N(x_\perp)$ в северо-южном и восточно-западном направлениях различаются, спектр для $0.1 \leq l_\perp \leq 1 \div 2$ км сохраняет квазизотропную форму.

В заключение заметим, что наличие глубоких френелевских осцилляций в спектре может свидетельствовать о справедливости выбранной модели фазового экрана и об отсутствии значительных амплитудных флуктуаций волн в слое с неоднородностями. Вместе с тем, такие флуктуации могли бы возникнуть, если мелкомасштабная искусственная турбулентность (характерный размер $l_m \approx 1 \div 10$ м), ответственная, в частности, за ракурсное рассеяние радиоволн, была бы сосредоточена в более крупных ($L_r \approx 1$ км) глобулах и вызывала бы ослабление сигнала при пересечении траекторий луча глобулы за счет рассеяния по другим направлениям. Такой эффект, как показывают оценки, мог бы наблюдаться на частотах $f \lesssim 100$ МГц (рассеянная мощность $P_s \propto f^{-2}$) при условии $L_r \lesssim \lambda z_b / l_m \lesssim L_0$, где L_0 — расстояние между глобулами, и мог бы использоваться для илучения тонкой структуры области с мелкомасштабной искусственной турбулентностью. О том, что мелкомасштабная турбулентность ($l_\perp \approx 200 \div 500$ м) сосредоточена в областях с размерами $L \gtrsim 1 \div 3$ км, свидетельствует наличие на записях амплитуды сигнала ИСЗ квазипериодических

локальных цугов флюктуаций. Последнее не противоречит форме спектра $\Phi_N(x_\perp)$, приведенной в настоящей работе.

Авторы выражают благодарность Н. А. Юлиновой, Н. Н. Новиковой за помощь при обработке данных эксперимента.

ЛИТЕРАТУРА

1. Bowhill S. A. — Radio Sci., 1974, 9, № 11, p. 975.
2. Ерухимов Л. М., Митякова Э. Е., Мясников Е. Н. и др. — Изв. вузов — Радиофизика, 1977, 20, № 12, с. 1814.
3. Ерухимов Л. М., Ковалев В. И., Лернер А. М. и др. — Изв. вузов — Радиофизика, 1979, 22, № 10, с. 1278.
4. Basu San, Basu S., Ganguly S., Gordon W. E. — J. Geophys. Res., 1983, 88, № A11, p. 9217.
5. Livingston R. C. — Radio Sci., 1983, 18, p. 253.
6. Duncan L. M., Behnke R. A. — Phys. Rev. Lett., 1978, 41, p. 998.
7. Ерухимов Л. М., Метелев С. А., Митякова Э. Е. и др. — В сб.: Тепловые нелинейные явления в плазме. — Горький, ИПФ АН СССР, 1979, с. 7.

Научно-исследовательский
радиофизический институт

Поступила в редакцию
26 августа 1985 г.

621. 396. 24

ОБ ОДНОМ СПОСОБЕ ОПРЕДЕЛЕНИЯ ФОРМЫ ОТРАЖАЮЩЕЙ ПОВЕРХНОСТИ

B. C. Белей, B. Г. Галушки, Ю. М. Ямпольский

В настоящее время в задачах дистанционного зондирования окружающей среды широко используются различные радиометоды. В данной работе рассмотрена возможность определения формы отражающей поверхности по результатам синхронных измерений углов прихода и доплеровского смещения частоты отраженной волны при наклонном распространении сигнала.

Задача решается в следующей постановке. Корреспондирующие пункты — приемник (точка O) и передатчик (точка B) разнесены по оси X на расстояние D . Идеально отражающая поверхность $H(\xi, \eta)$ движется как целое с постоянной скоростью V под углом α по отношению к трассе (рис. 1), т. е. $\xi = x \cos \alpha + y \sin \alpha - Vt$, $\eta = y \cos \alpha - x \sin \alpha$ (движение происходит вдоль координаты ξ). Предполагается, во-первых, что поверхность H имеет явно выраженную анизотропию — характерная величина наклонов по координате ξ значительно больше, чем по η , т. е. $dH/d\xi \gg dH/d\eta \approx 0$, или $H(\xi, \eta) \approx H(\xi)$. Во-вторых, масштаб неровностей поверхности гораздо больше размеров зоны Френеля: $L \ll \sqrt{\lambda D}$ (здесь λ — длина волны зондирующего сигнала). Первое предположение обусловлено тем, что часто исследуемые поверхности имеют волновую природу (поверхность моря, ПИВ) или сильную анизотропию (горные и подводные хребты и складки). Второе условие позволяет применить для решения задачи приближение ГО.

Исходя из законов ГО, запишем условие зеркального отражения луча BSO :

$$(x_s H'_x + y_s H'_y - z_s)/l_1 = [(x_s - D) H'_x + y_s H'_y - z_s]/l_2, \\ y_s + z_s H'_y = 0, \quad (1)$$

где x_s, y_s, z_s — координаты точки отражения S в каждый данный момент времени ($z_s = H(x_s \cos \alpha + y_s \sin \alpha - Vt)$), H'_x, H'_y — производные dH/dx и dH/dy в точке отражения, l_1, l_2 — расстояния от точки отражения до приемника и передатчика соответственно. Очевидно, что существование нескольких решений уравнений (1) означает наличие нескольких лучей, отражающихся от поверхности H (многолучевость). В дальнейшем мы будем рассматривать только однолучевое распространение, хотя подобная задача может быть решена и в многолучевом случае.

Известными величинами считаются угол места ε , азимут ϕ и доплеровское смещение частоты F_d принимаемого сигнала:

$$\operatorname{tg} \varphi(t) = y_s/x_s \equiv f(t), \quad (2)$$

$$\operatorname{tg} \varepsilon(t) = z_s(x_s^2 + y_s^2)^{-1/2} \equiv p(t), \quad F_d(t) = -\lambda^{-1}(l_1 + l_2).$$